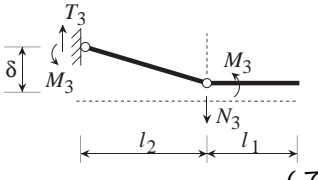
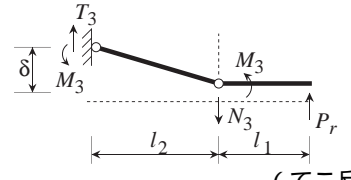
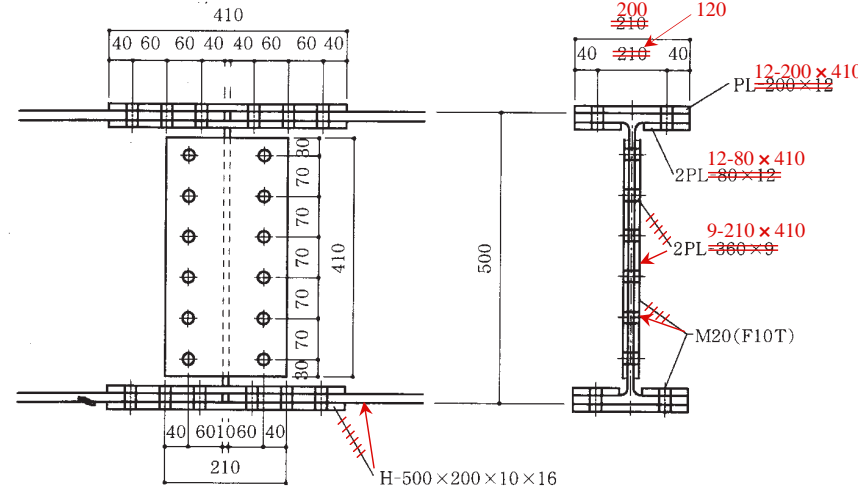
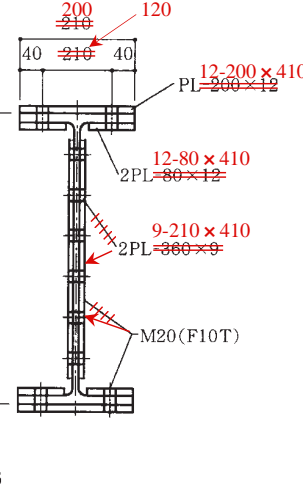


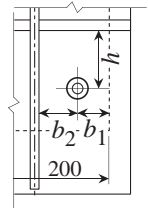
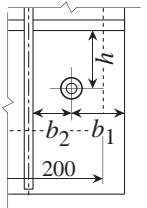
「修正刷」の欄は、以下を表す。

1：1版第1刷のみの修正

2：1版第2刷のみの修正

1,2：1版第1刷および第2刷ともに修正

箇所	誤	正	修正刷
鋼構造接合 小委員会委 員名簿	多賀謙造	多賀謙蔵	1
27頁2行目	焼鈍しの影響	焼鈍の影響	1
29頁1行目	焼鈍し現象	焼鈍による軟化	1
45頁 (2.20.a)式	$M_{ul} = q_{bu} \sum r_i$	$M_{ul} = q_{bu} \sum r_i^2 / r_m$	1
55頁 図C2.2 機構3	 <p>(てこ反力 P_r なし)</p>	 <p>(てこ反力 P_r を記入)</p>	1
70頁 (C2.22)式	$w P_{u2} = C_j (1 + 0.4 \cos \theta) \sum A_a \frac{F_u}{\sqrt{3}}$	$w P_{u2} = (1 + 0.4 \cos \theta) \sum A_a \frac{F_u}{\sqrt{3}}$	1
91頁8行目	(2.24)式より	(2.25a)式より	1
92頁下から 6行目	Z_{sn} ：ボルト孔欠損を差し引いた・・・正味 断面の塑性断面係数	Z_{sn} ：ボルト孔欠損を差し引いた・・・正味 断面の断面係数	1
94頁下から 7行目	2-PL12-80×450	2-PL12-80×410	1,2
95頁 図C3.11	 <p>図 C3.11</p>		1,2
95頁下から 13行目	$j M_{fu1} = \dots \times 10^{-6} = 433$	$j M_{fy1} = \dots \times 10^{-3} = 433$	1,2
95頁下から 7行目	$j M_{wy} = \dots$ $\times \sqrt{149^2 + \left(\frac{150 \times 175}{5 \times 175}\right)^2} \times 10^{-6} = 72.0$	$j M_{wy1} = \dots$ $\times \sqrt{149^2 - \left(\frac{260 \times 175}{6 \times 175}\right)^2} \times 10^{-3} = 69.9$	1
	$j M_{wy1} = \dots$ $\times \sqrt{149^2 - \left(\frac{150 \times 175}{6 \times 175}\right)^2} \times 10^{-6} = 72.0$		2

95 頁下から 6 行目	${}_j M_{wy2} = 338 \times 10^3 \bullet \bullet \bullet \bullet = 79.4 \text{ kN} \cdot \text{m}$	${}_j M_{wy2} = 339 \times 10^3 \bullet \bullet \bullet \bullet = 79.7 \text{ kN} \cdot \text{m}$	1,2
95 頁下から 5 行目	${}_j M_{wy} = {}_j M_{wy1} = 72.0 \text{ kN} \cdot \text{m}$	${}_j M_{wy} = {}_j M_{wy1} = 69.9 \text{ kN} \cdot \text{m}$	1,2
96 頁 2 行目	$(200 + \dots) \times 400 \times \dots$	$(200 + \dots) \times 12 \times 400 \times \dots$	1
96 頁 5 行目	$\dots \times (500 - 16) \times 10^{-6} = 1090 \text{ kN} \cdot \text{m}$	$\dots \times (500 - 16) \times 10^{-3} = 1090 \text{ kN} \cdot \text{m}$	1
96 頁 9 行目	${}_j M_{wy2} = 507 \times 10^3 \bullet \bullet \bullet = 203$	${}_j M_{wy2} = 339 \times 10^3 \bullet \bullet \bullet = 136$	1,2
96 頁 12 行 目	$\times \sqrt{337^2 + \left(\frac{224 \times 175}{6 \times 175}\right)^2} \times 10^{-6} = 164$	$\times \sqrt{377^2 - \left(\frac{297 \times 175}{6 \times 175}\right)^2} \times 10^{-3} = 183$	1
	$\times \sqrt{337^2 - \left(\frac{224 \times 175}{6 \times 175}\right)^2} \times 10^{-3} = 164$		2
96 頁 13 行 目	$Q_{uj} = 224 \text{ kN}$	$Q_{uj} = 297 \text{ kN}$	1,2
96 頁 20 行 目	$Q_{uj} = \frac{1.15 \times 512}{8} + 150 = 234 \text{ kN}$	$Q_{uj} = \frac{1.15 \times 512 \times 2}{8} + 150 = 297 \text{ kN}$	1
	$Q_{uj} = \frac{1.15 \times 512}{8} + 150 = 224 \text{ kN}$		2
99 頁本文 (3.35) 式	${}_j Q_y = {}_j A_{we} \cdot F_y$	${}_j Q_y = {}_j A_{we} \cdot F_y / \sqrt{3}$	1
100 頁下から 1 行目	F_{ft} : フランジの降伏強さ	F_{fy} : フランジの降伏強さ	1,2
103 頁解説 4 行目	(3.43.a) 式 , (3.43.b) 式	(3.40.a) 式 , (3.40.b) 式	1
114 頁 (C4.1) 式	${}_b M_u \quad {}_b M_{\max}$	${}_j M_u \quad {}_b M_{\max}$	1,2
138 頁 17 行 目	$Z_{wpe} = \frac{t_w}{4} (D_b - 2t_{bf} - 2S_r)^2$	$Z_{wpe} = \frac{t_{bw}}{4} (D_b - 2t_{bf} - 2S_r)^2$	1,2
	$Z_{wpe} = \frac{t_w}{4} (D_b - 2t_{bf})^2$		
173 頁 本文 (4.12.b) 式	$\left\{ P_{wy} \sqrt{4 \left(\frac{e}{T_w}\right)^2} + 3 - 3 \left(\frac{M_j}{P_{wy} \cdot d_t}\right)^2 - \frac{2M_j \cdot e}{d_t \cdot t_w} \right\}$	$\left\{ P_{wy} \sqrt{4 \left(\frac{e}{t_w}\right)^2} + 3 - 3 \left(\frac{M_j}{P_{wy} \cdot d_t}\right)^2 - \frac{2M_j \cdot e}{d_t \cdot t_w} \right\}$	1,2
174 頁 本文 (4.14.a) 式	${}_j M_{u1} = {}_c P_y \cdot d_t$	${}_j M_{u1} = {}_c P_u \cdot d_t$	1
174 頁 (4.15) 式 の上の行	降伏せん断耐力 ${}_j Q_u$ は・・・	最大せん断耐力 ${}_j Q_u$ は・・・	1
176 頁 図 C4.64 b_1 の右矢印 の位置	 (破線まで)	 (実線まで)	1
177 頁解説 7 行目	${}_j Q_{y1}$	${}_j Q_{u1}$	1

178 頁 図 C4.68	<p style="text-align: center;">(単位 : mm)</p> <p style="text-align: center;">図 C4.68</p>		1,2
179 頁 15 行 目	$b_2 = 50.5 \text{ mm}$	$b_2 = 53 \text{ mm}$	1
179 頁 17 行 目	$= \frac{50.5}{2} + \sqrt{\left(\frac{50.5}{2}\right)^2 + \frac{3.14 \times 67.5 \times 50.5}{4}}$ $= 82.8 \text{ mm}$	$= \frac{53}{2} + \sqrt{\left(\frac{53}{2}\right)^2 + \frac{3.14 \times 67.5 \times 53}{4}}$ $= 85.8 \text{ mm}$	1 2
179 頁 18 行 目	$\dots + \frac{2}{\pi} \left(\frac{h}{b_2} - 1 \right) + \dots$	$\dots + \frac{2}{\pi} \left(\frac{h}{b_2} - 1 \right) + \dots$	1
179 頁 19 行 目	$\left\{ \frac{67.5}{52} + \frac{67.5}{82.8} + 3.14 + \frac{2}{3.14} \left(\frac{52}{50.5} - 1 \right)^2 + \frac{2}{3.14} + \left(\frac{82.8}{50.5} - 1 \right)^2 \right\}$ $\left\{ \frac{67.5}{52} + \frac{67.5}{85.8} + 3.14 + \frac{2}{3.14} \left(\frac{52}{53} - 1 \right)^2 + \frac{2}{3.14} + \left(\frac{82.8}{53} - 1 \right)^2 \right\}$	$\left\{ \frac{67.5}{52} + \frac{67.5}{85.8} + 3.14 + \frac{2}{3.14} \left(\frac{52}{53} - 1 \right)^2 + \frac{2}{3.14} + \left(\frac{85.8}{53} - 1 \right)^2 \right\}$	1 2
179 頁 20 行 目	$= 8 \times 11.5 \times 5.51 = 507 \text{ kN}$	$= 8 \times 11.5 \times 5.47 = 503 \text{ kN}$	1
179 頁 21 行 目	$= 507 \times (350 + 16) \times 10^{-3} = 186 \text{ kN} \cdot \text{m}$	$= 503 \times (350 + 16) \times 10^{-3} = 184 \text{ kN} \cdot \text{m}$	1
179 頁 下から 10、7、6 行目	${}_c M_0$	M_0	1,2
180 頁 3 行 目	${}_j M_y = 186 \text{ kN} \cdot \text{m}$	${}_j M_y = 184 \text{ kN} \cdot \text{m}$	1
180 頁 7 行 目	$\dots \times 24 \times \dots = 685 \times 10^3 \text{ mm}^3$	$\dots \times 22 \times \dots = 700 \times 10^3 \text{ mm}^3$	1,2
180 頁 8 行 目	$= 685 \times \dots = 274 \text{ kN} \cdot \text{m}$	$= 700 \times \dots = 280 \text{ kN} \cdot \text{m}$	1,2
180 頁 12 行 目	$\times 5.51 = 856 \text{ kN}$ $\times 5.51 = 865 \text{ kN}$	$\times 5.47 = 858 \text{ kN}$	1 2

180 頁 13 行 目	=856 × . . . =317 kN・m =865 × . . . =317 kN・m	=858 × . . . =314 kN・m	1 2
180 頁 15、 17、18 行目	${}_c M_u$	M_u	1,2
180 頁 16 行 目,17 行目	P_{by}	P_{bu}	1,2
180 頁 23 行 目	=413kN	=550kN	1
180 頁 26 行 目	= 317 kN・m	= 314 kN・m	1,2
180 頁 27、 29 行目	274 kN・m	280 kN・m	1,2
190 頁 表 C5.1	< 箱形断面 45° の全塑性耐力 > $= 2 \left\{ 2d_c - 2r_m(\sqrt{2} - 1) \right\} d_b \cdot t_p \cdot \tau_y \sqrt{1 - n^2}$	$= 2 \left\{ \sqrt{2}d_c - 2r_m(\sqrt{2} - 1) \right\} d_b \cdot t_p \cdot \tau_y \sqrt{1 - n^2}$	1,2
192 頁解説 14 行目	上記 1)	上記 i)	1,2
192 頁 図 C5.11(a) 中の式	$\sqrt{1 \left\{ (n-1) \frac{A}{d_c \cdot d_t} + 1 \right\}^2}$	$\sqrt{1 - \left\{ (n-1) \frac{A}{d_c \cdot d_t} + 1 \right\}^2}$	1
204 頁参考 文献 1)	田中敦夫	田中淳夫	1
205 頁参考 文献 25)	熊野豪	熊野豪人	1
228 頁下か ら 9 行目の 式の左辺第 3 項	$\frac{6n \cdot a_t}{B} \left(e - \frac{D}{2} - d_t' \right) (D - d_t' - x_n)$	$\frac{6n \cdot a_t}{B} \left(e + \frac{D}{2} - d_t' \right) (D - d_t' - x_n)$	1
228 頁下か ら 2 行目	「鋼構造設計規準」 ³⁰⁾ 付 7 の計算図表	「鋼構造設計規準」 ³²⁾ 付録の計算図表	1,2
229 頁 11 行 目	$T_p = \phi_1 \sqrt{\frac{F_c}{9.80665}} A_c = 0.31 \phi_1 \sqrt{F_c} A_c$	$T_p = \phi_1 \frac{\sqrt{9.80665 F_c}}{10} A_c = 0.31 \phi_1 \sqrt{F_c} A_c$	1,2
229 頁下か ら 12 行目	182 kN	1826 kN	1,2
230 頁 1 行 目式分母	750 × 453 ×	750 × 425 ×	1
230 頁 1 行 目式右辺	=16.0 N/mm ²	=17.1 N/mm ²	1
230 頁 4 行 目	$\frac{\sigma_c}{F_{cy}} = \frac{16.0}{20} = 0.80$	$\frac{\sigma_c}{F_{cy}} = \frac{17.1}{20} = 0.86$	1
230 頁 10 行 目	$w = \sigma_c = 16.0$ N/mm ²	$w = \sigma_c = 17.1$ N/mm ²	1
230 頁 12 行 目	. . . × 16.0 × . . . = 0.180 N/mm ²	. . . × 17.1 × . . . = 0.192 N/mm ²	1
231 頁 2 行 目	$T_u = N_t \cdot A_b \cdot F =$	$T_u = n_t \cdot A_b \cdot F =$	1
239 頁 図 C7.20	D10@100	D13@100	1,2
239 頁 4 行 目	. . . × 439 × × 438 × . . .	1

239 頁 7 行 目	$\times \left(\dots \times \frac{172 \times 2}{300 \times 100} \right) \times 10^{-3} = 360$	$\times \left(\dots \times \frac{127 \times 2}{300 \times 100} \right) \times 10^{-3} = 302$	1
240 頁 9 行 目	本文 (7.7) 式を用いる.	本文 (7.8) 式を用いる.	1
240 頁 13 行 目	本文 (7.14) 式より	本文 (7.15) 式より	1,2
240 頁 20 行 目	$= 360 + 62.7 \times 10^3 / 630 = 459 \text{ kN}$	$= 302 + 62.7 \times 10^3 / 630 = 401 \text{ kN}$	1
248 頁設計 例 1 行目	鋼管柱 (-400 × 400 × 19 , . . .	鋼管柱 (-400 × 400 × 16 , . . .	1
249 頁 6 行 目 251 頁 下 から 9 行目	629 kN・m	539 kN・m	1
249 頁 16 行目	2.9 > 1.0 OK	2.9 > 1.3 OK	1
250 頁 図 C7.28 中 の表記	柱 400 × 19	柱 400 × 16	1,2
251 頁下か ら 9 行目	. . . M_{pc} は 629kN・m となる. M_{pc} は 539kN・m となる. . .	1,2
251 頁下か ら 8 行目	$\frac{825}{629} = 1.31 > 1.3$	$\frac{825}{539} = 1.53 > 1.3$	1
251 頁下か ら 4,5 行目	$= -(24 \times \dots \sqrt{\dots \times (2000 + 1100)} / 24 \times 400) \times 10^{-6} = 1027 \text{ kN} \cdot \text{m}$	$= \left\{ -(24 \times \dots \sqrt{\dots \times (2000 + 1100)} / 24 \times 400) \right\} \times 10^{-6} = 1027 \text{ kN} \cdot \text{m}$	1
252 頁 4 行 目	$N_y = 500 \times 400 \times 16 \times 10^{-3}$	$N_y = 500 \times 500 \times 16 \times 10^{-3}$	1
252 頁下か ら 12 行	$T_p = \phi_1 \sqrt{\frac{F_c}{9.80665}} A_c$	$T_p = \phi_1 \sqrt{\frac{9.80665 F_c}{10}} A_c$	1,2
252 頁下か ら 10 行目	$= 0.31 \times 0.6 \times \sqrt{24 \times 1190000} =$	$= 0.31 \times 0.6 \times \sqrt{24 \times 1190000} \times 10^{-3} =$	1
259 頁 13 行 目	F_u : 降伏強さ	F_y : 降伏強さ	1,2
260 頁下か ら 7 行目	I_o : 梁全断面の断面 2 次モーメント	I_0 : 梁全断面の断面 2 次モーメント	1,2
261 頁 23、 24 行目	孔怪・軸怪	孔径・軸径	1,2
262 頁 23 行 目	m : カボルト摩擦接合部のせん断面の数	m : 高力ボルト摩擦接合部の摩擦面の数	1,2
263 頁 14 行	X_n : 中立軸の位置	x_n : 中立軸の位置	1,2
263 頁 22 行	ϕ : 隅肉溶接の母材間の角度	ϕ : 隅肉溶接の母材間の角度	1,2
265 頁下か ら 9 行目	T_u : 引張を受けるリブ無しまたはリブ付き鋼管 フランジ継手の降伏耐力	T_u : 引張を受けるリブ無しまたはリブ付き鋼管 フランジ継手の最大耐力	1,2
265 頁下か ら 2 行	p_{by} : 引高力ボルト引張接合部の . . .	p_{by} : 高力ボルト引張接合部の . . .	1,2
279 頁 6 行 目	. . . が製造されている ⁸⁾ が製造されている. (文献番号を削除)	1